Совместное решение задачи динамики и теплопроводности реализовано в программном комплексе ФРУНД [2].

#### Список литературы

- 1. Internet resource. Open CASCADE Technology, 3D modeling & numerical simulation. URL: http://www.opencascade.org, 2010.
- 2. Internet resource. Software for simulation the multibody dynamics of the rigid and flexible bodies. URL: http://www.frund.vstu.ru, 2010.
- 3. Maki K. Habib, Bioinspiration and Robotics Walking and Climbing Robots, 2007.
  - 4. Principles of CAD/CAM/CAE Systems, Kunwoo Lee, 2004.
  - 5. Vittendurg I.S. The dynamics of solid body system, 1980.

### <sup>1</sup>А.Н. Шарифулин, <sup>2</sup>С.А. Суслов

<sup>1</sup>Пермский государственный технический университет <sup>2</sup>Swinburne University of technology, Hawthorn, Australia

## КОНВЕКТИВНЫЕ БИФУРКАЦИИ НЕСЖИМАЕМОЙ ЖИДКОСТИ В НАКЛОНЯЕМОЙ ПОЛОСТИ КВАДРАТНОГО СЕЧЕНИЯ

Рассматривается стационарная двумерная конвекция воздуха в цилиндрической горизонтальной полости квадратного сечения, две противоположные стенки которой теплоизолированы, а в двух других поддерживаются постоянные различные температуры. Полость может медленно наклоняться на произвольный угол так, что цилиндр все время остается горизонтальным, а направление подогрева жидкости из-за этого может плавно изменяться от направления подогрева снизу к направлению подогрева сбоку и так до подогрева сверху и обратно. Основное внимание уделено определению бифуркационной кривой на плоскости параметров: число Релея-угол наклона полости, при пересечении которой стационарный режим конвекции испытывает бифуркации.

Интерес к стационарным режимам конвекции воздуха в замкнутой наклоняемой полости связан с надеждой, что через по-

нимание закономерностей их бифуркаций в лабораторных моделях будет понят механизм зарождения сложных атмосферных явлений. Наклон полости используется для лабораторного моделирования, например, внезапного зарождения тропических циклонов [1] и парадоксального переноса загрязнений воздуха из города в горные районы с дорогой недвижимостью [2]. Стационарные режимы тепловой конвекции воздуха в замкнутой полости часто имеют форму валов, т.е. вихрей с горизонтальной осью. В них частицы жидкости движутся вдоль плоских линий тока вокруг точки пересечения этой плоскости с осью вихря. Поэтому такие режимы можно назвать квазидвумерными. Это обстоятельство позволяет авторам данной работы надеяться, что исследование плоских двумерных течений воздуха, т.е. бесконечно вытянутых горизонтальных вихрей, в абстрактных бесконечных цилиндрах поможет в понимании закономерностей бифуркаций стационарных режимов конвекции в полостях лабораторных экспериментов. Бифуркации конвективных течений воздуха, вызванные наклоном экспериментально начали изучаться для кубической полости, подогреваемой снизу в [3], где

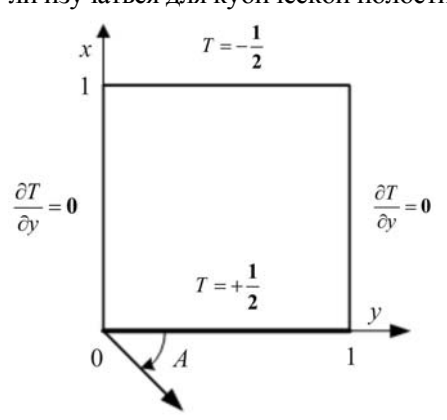


Рис. 1. Условия подогрева на твердых стенках полости. Направление вниз показано стрелкой и составляет с осью Y угол A

были рассмотрены лишь малые девиации угла наклона, соответствующего подогреву строго снизу. Поясним, что наклон при малых значениях числа Рэлея приводит к формированию горизонтального вихря с таким направлением циркуляции, что воздух, прик наклоненной легаюший нагретой нижней стенке полости, движется вверх. Это вихрь с нормальным вращением, если полость привести в горизонтальное положение, он прекратит свое вращение.

Однако при значениях числа Рэлея, превышающих критическое, наряду с таким нормальным вихрем возможен и вихрь с обратным

направлением циркуляции, т.е. аномальный вихрь. В таком вихре воздух вдоль нагретой нижней грани куба движется вниз.

Целью настоящей работы было теоретически, путем численного решения полных уравнений тепловой конвекции в приближении Буссинеска, определить величину критического угла наклона, до достижения, которого возможно существование такого аномального вихря.

Рассматривается свободная тепловая конвекция несжимаемой жидкости в бесконечной замкнутой полости квадратного сечения с твердыми границами. Две противоположные стенки теплоизолированы, а полости две других поддерживаются при постоянных различных температурах, как показано на рис. 1. Введем угол наклона полости А так, что значение  $A = -90^{\circ}$  соответствует подогреву снизу, а  $A = 90^{\circ}$  — сверху. При подогреве снизу возможно условие механического равновесия и конвективное движение возникает в результате fork type bifurcation при превышении числом Рэлея критизначения  $R_c = 2586$  [4]. ческого При превышении числом Рэлея

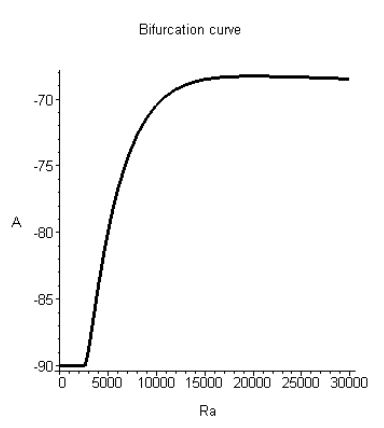


Рис. 2. Бифуркационная кривая. Область под ней характеризуется наличием трех вихревых решений – двух устойчивых с аномальным и нормальным направлением циркуляции (см. определения в тексте) и неустойчивого по седловому типу с нормальным направлением циркуляции

критического значения  $R_c$  устанавливается стационарный однояченстый режим конвекции.

Причем возможны два надкритических режима, отличающихся друг от друга лишь направлением циркуляции. Для произвольных значений A до настоящей работы задача не исследовалась. Имеется лишь работа [5], где в аналогичной постановке изучен случай идеально теплопроводных границ. Основное внимание в ней уделено построению бифуркационных диаграмм

и бифуркациям между одно- и двухвихревыми течениями. Получены устойчивые режимы стационарного аномального вихря для значений девиации от угла наклона, соответствующего подогреву снизу в 1 и  $5^{\circ}$ . Бифуркационная диаграмма, определяющая границы существования аномального вихря, была построена для значения числа Прандтля Pr=1 конечно-разностным методом для цилиндра кругового сечения [6]. Бифуркационная кривая имела экстремум, максимальное значение критического угла составляло  $12^{\circ}$  при  $Ra=2Ra_{c}$ .

В настоящей работе использовался метод Петрова-Галеркина [7], который позволил получить как устойчивые, так и неустойчивые стационарные решения задачи. В качестве базисных функций использовались полиномы Чебышева.

Расчеты проводились на одном процессоре компьютера с производительностью около 1000 GFlops. Время вычислений для стационарных режимов было порядка нескольких минут, интегрирование по времени занимало несколько часов.

Бифуркационная кривая, определяющая область существования аномального вихря, представлена на рис. 2 Видно, что критический угол достигает значения в 22°. Отметим, что в области под бифуркационной кривой кроме аномального вихря и основного нормального вихря имеется еще один вихрь с нормальным направлением циркуляции, но неустойчивый. Его неустойчивость имеет седловой характер, т.е. существует направление в фазовом пространстве, для которого он является притягивающим. Это означает, что он может наблюдаться некоторое (не обязательно короткое) время в численном или лабораторном эксперименте.

В заключение отметим, что бифуркационная кривая, как и кривая, полученная в [6], имеет экстремум. Однако этот экстремум значительно менее выражен, что говорит о том, что область существования устойчивого аномального вихря для цилиндра с квадратным сечением значительно шире, чем для кругового цилиндра. Это позволяет предположить, что на степень уменьшения критического угла с ростом числа Рэлея отрицательное влияние оказывают факторы наличия углов отношение площади границ к объему жидкости.

#### Список литературы

- 1. Sharifulin A., Poludnitsin A., Kravchuk A. Bulletin of the American Physical Society, 2007. 52, 17, p. 168–169.
- 2. Princevac M., Fernando H. J.S. Physics of fluids, 2007. 19, 105102.
- 3. Zimin V., Ketov A. Izvest. AN SSSR.Mekh.zhigkocti I gaza, 1974. 5. P. 110–114.
- 4. Gershuni G.Z., Zhukhovitskii Convective Stability of Incompressible Fluids. Moscow: Nauka, 1972.
- 5. Mizushima J., Hara Y. Journal of the Physical Society of Japan, 2000. 69, 2371–2374.
- 6. Nikitin A., Sharifulin A. HEAT TRANSFER-Soviet Research, 1989. 21, 213–221.
- 7. Suslov S.A., Paolucci S. A.:Proc. Of the ASME Heat Transfer Division, 2001. 4, 39–46.

#### Л.П. Шингель

Пермский государственный технический университет

# О РАСЧЕТЕ ТОРСИОНА НЕСУЩЕГО ВИНТА ЭКСПЕРИМЕНТАЛЬНОГО ВЕРТОЛЕТА ИЗ КОМПОЗИЦИОННЫХ МАТЕРИАЛОВ С ИСПОЛЬЗОВАНИЕМ КЛАСТЕРА

При разработке несущей системы вертолетов и некоторых самолетов вертикального взлета и посадки, особенно имеющих небольшой взлетный вес, прогрессивным является использование торсиона для установки лопастей несущего винта. Еще в 1977 г. в литературе отмечалась эффективность несущих винтов со втулкой полужесткого типа, использующих упругую торсионную подвеску. Одновременно отмечался большой объем расчетно-конструкторских работ и исследований, необходимых для получения удовлетворительных характеристик такой подвески.

В работе рассмотрен торсион втулки двухлопастного несущего винта легкого экспериментального самолета вертикального взлета и посадки, аналогичный торсиону вертолета Rotorlfy. Торсион выполнен из набора чередующихся слоев стеклопласти-